

بررسی پلیمورفیسم‌های ژن NOS2A در بیماران مبتلا به آرتربیت روماتوئید و

مقایسه آن با افراد نرمال

چکیده

زمینه و هدف: شواهد متعددی در خصوص حضور و نقش نیتریک اکساید (NO=Nitric oxide) در پاتوژن آرتربیت روماتوئید وجود دارد. NO توسط آنزیم بنام نیتریک اکساید سنتاز القائی (iNOS=Induced Nitric oxide syntetase) تولید می‌شود. NO در سینوفیویوم، غضروف و سلول‌های تک هسته‌ای لتفوئیدی موجود در مایع سینوفیوال و لتفوئیت‌ها و منوئیت‌های خون محيطی بیماران مبتلا به آرتربیت روماتوئید نیز دیده می‌شود. مطالعات نشان داده‌اند که پلیمورفیسم‌های موجود در ژن کدکنده آنزیم iNOS (NOS2A) با استعداد ابتلا به بیماری‌های التهابی و خود اینکی مختلف در ارتباط استند. هدف از انجام این مطالعه، تعیین پلیمورفیسم‌های موجود در موقعیت 1659C/T و 150C/T در بیماران مبتلا به آرتربیت روماتوئید و مقایسه آن با افراد نرمال بود.

روش بررسی: در این مطالعه موردی-شاهدی، پلیمورفیسم‌های موجود در موقعیت 1659C/T و 150C/T+ژن NOS2A در ۱۷۶ بیمار مبتلا به آرتربیت روماتوئید و ۲۲۲ فرد نرمال، به ترتیب به روش‌های PCR-Allele Specific (PCR-RFLP) و مقایسه قرار گرفت. نرمافزار SPSS و آزمون‌های آماری مجدد کاری (χ^2) و Fisher's Exact جهت مقایسه فراوانی ژنوتیپ‌ها و آلل‌ها بین بیماران و افراد نرمال مورد استفاده قرار گرفتند.

یافته‌ها: پس از تجزیه و تحلیل آماری ارتباط معنی‌داری در مقایسه فراوانی ژنوتیپ‌های 1659C/T- بین گروه بیمار و کنترل مشاهده گردید ($P=0.02$). در واقع ژنوتیپ مفouzیگوt CC در افراد نرمال (۷۵٪) به طور معنی‌داری بیش از بیماران (۶۴٪) می‌باشد. در مقایسه فراوانی ژنوتیپ‌های 150C/T+ بین گروه بیمار و کنترل ارتباط معنی‌داری مشاهده نگردید ($P=0.33$). همچنین پرونده بالینی بیماران مورد مطالعه قرار گرفت و اطلاعاتی از قبیل RF(Rheumatoid factor)، CRP(CReactiveprotein) و سن شروع بیماری جمع‌آوری و ثبت گردید. ارتباط بین ژنوتیپ‌های 1659C/T- و 150C/T+ و عالائم بالینی و یافته‌های پارکلیتیکی مورد آنالیز آماری قرار گرفت و تفاوت معنی‌داری مشاهده نگردید.

نتیجه‌گیری: از آنجایی که در این تحقیق که اولین مطالعه در زمینه ارتباط بین پلیمورفیسم‌های 1659C/T- و 150C/T+ ژن NOS2A و بیماری آرتربیت روماتوئید می‌باشد، رابطه معنی‌داری بین ژنوتیپ‌های 1659C/T- در بین گروه بیمار و کنترل یافت گردید؛ لذا به نظر می‌رسد انجام مطالعات مشابه در جمعیت‌های دیگر در شناخت نقش آنزیم iNOS و NO در بیماری آرتربیت روماتوئید دارای اهمیت باشد.

کلیدواژه‌ها: ۱- آرتربیت روماتوئید ۲- نیتریک اکساید سنتاز القائی ۳- پلیمورفیسم ژن نیتریک اکساید سنتاز 2A

بهاره عبد نیک فرجام

دکتر زهرا امیر غفران^{II}

دکتر الهام افلاکی^{III}

دکتر اسکندر کمالی^{II}

تاریخ دریافت: ۸۷/۲/۱۶، تاریخ پذیرش: ۸۷/۶/۲

مقدمه

واسطه‌های التهابی نظیر نیتریک اکساید (NO=Nitric oxide) در ایجاد این تظاهرات نقش دارند^(۱). تولید NO در پاتوژن بیماری از راه‌های گوناگونی تأثیر دارد. در پاسخ به تحريك سایتوکاین‌ها، NO درون مفاصل تولید می‌شود و تأثیراتی روی سلول‌های سینوفیوال و اعمال

آرتربیت روماتوئید شایع‌ترین فرم پلی آرتربیت مزمن التهابی می‌باشد و از برهمکنش عوامل محیطی، ژنتیکی و ایمونولوژیک ایجاد می‌گردد. تظاهرات مفصلی و خارج مفصلی این بیماری ناشی از التهاب مزمن مفصلی و سیستمیک می‌باشد و از سوی دیگر سایتوکاین‌ها و دیگر

این مقاله خلاصه‌ای از پایان‌نامه خانم بهاره عبد نیک فرجام در مقطع کارشناسی ارشد به راهنمایی دکتر اسکندر کمالی و دکتر زهرا امیر غفران و مشاوره دکتر الهام افلاکی می‌باشد.
(۱) مربي و کارشناس ارشد ایمونولوژي، گروه اینمی‌شناسی و میکروب‌شناسی، دانشکده پزشکی، بوار شهید باهنر، دانشگاه علوم پزشکی و خدمات بهداشتی-درمانی قزوین، قزوین، ایران (** مؤلف مسئول).
(II) استاد و دکترای ایمونولوژی، گروه اینمی‌شناسی و مرکز تحقیقات بیماری‌های خودایمن، دانشکده پزشکی و خدمات بهداشتی-درمانی شیراز، شیراز، ایران.
(III) استادیار و فوق تخصص روماتولوژی، دانشگاه علوم پزشکی و خدمات بهداشتی-درمانی شیراز، شیراز، ایران.

پلی مورفیسم موجود در موقعیت ۱۶۵۹- پرموتور ژن آنزیم iNOS باعث تبدیل نوکلوتید C به نوکلوتید T می‌شود و اتصال پروتئین‌های هسته‌ای را تغییر می‌دهد با توجه به حرکت ترجیحی (Linkage Disequilibrium) بین سایت‌های پلی مورفیک مختلف در ژن این آنزیم، در مطالعات آینده آزمایش اینکه آیا یک پلی مورفیسم نقطه‌ای واحد خاص یا هاپلوتایپ در تأثیرات عملکردی اهمیت دارند، ضروری به نظر می‌رسد.^(۱۸) جهت آزمایش امکان تأثیر پلی مورفیسم ۱۶۵۹- بر روی برهمکنش‌های پروتئین- DNA از رده سلولی شبه ماکروفازی انسانی به نام HL-60_{hea} (یک فنوتیپ چسبنده مشتق از HL-60) استفاده شده است. این رده سلولی توسط iNOS (LPS) جهت تولید NO توسط القا می‌شود. عصاره هسته‌ای سلول‌های تحریک نشده و تحریک شده با LPS، با یک پروب Oligoduplex شامل سایت ۱۶۵۹- NOS2A-1659 یک کمپلکس انکوبه می‌شوند. برای هر دو فرم‌اللی، یک کمپلکس پروتئین-DNA مشاهده می‌شود که به طور معنی‌داری بدنیال تحریک با LPS به مدت ۳۰ دقیقه فرا تنظیم می‌شود. شدت کمپلکس‌های ساختاری و القایی برای NOS2A-1659C به طور قابل توجهی از ال NOS2A-1659T بالاتر می‌باشد.^(۲۰) هدف از انجام این مطالعه، تعیین پلی مورفیسم‌های ذکر شده در فوق در بیماران مبتلا به آرتربیت روماتوئید و مقایسه آن با افراد نرمال بود. این پلی مورفیسم‌ها تا کنون در این بیماری مطالعه نشده‌اند.

روش بررسی

در این مطالعه موردی- شاهدی، ۱۷۶ بیمار مبتلا به آرتربیت روماتوئید با میانگین سنی $45 \pm 12/7$ سال و محدوده سنی ۱۹-۷۲ سال مورد مطالعه قرار گرفتند. بیماران با توجه به علائم کلینیکی، اطلاعات حاصل از پرونده پزشکی و تأیید وجود بیماری توسط فوق C/T برای اثبات اهمیت این پلی مورفیسم

کندروسیت‌ها می‌گذارد که سبب آغاز تخریب غضروف مفصلی می‌گردد. این تأثیرات روی سلول‌های سینوویال و کندروسیت‌ها شامل مهار سنتز کلاژن و پروتئوگلیکان،^(۲۱) فعال شدن متالوپروتئینازها^(۴) افزایش حساسیت به آسیب توسط دیگر اکسیدانت‌ها (H₂O₂) و آپوپتوز^(۲۲) می‌باشد. شواهد متعددی در خصوص حضور و نقش NO و آنزیم تولید کننده آن (iNOS) در پاتوژن آرتربیت روماتوئید وجود دارد.^(۷-۹) از آن جمله افزایش غلظت نیتریت‌ها درون مایع مفصلی بیماران مبتلا به آرتربیت روماتوئید، ۳۵ تا ۶۶ بار بیشتر از بیماران مبتلا به استئوآرتربیت می‌باشد.^(۱۰) بعلاوه در مایع سینوویال این بیماران، نیتروزوپروتئین‌ها بیشتر از سرمه وجود دارند که نشان‌دهنده تولید مقادیر زیادتر NO درون مفاصل می‌باشد. با استفاده از روش‌های ایمونو- هیستوشیمی، هبیریدیزاسیون در جا و RT-PCR، بروز iNOS در بیماری‌های آرتربیت روماتوئید، مالتیپل اسکلروزیس و سیندرم شوگرن مشخص شده است. در بیماران مبتلا به آرتربیت روماتوئید، لایه پوشاننده سینوویال، زیرسینوویوم، عضله صاف عروقی، کندروسیت‌ها و سینوویوسیت‌ها، iNOS را به مقدار بسیار زیاد بروز می‌دهند؛^(۱۱) لذا در آرتربیت روماتوئید، سینوویوم و غضروف منابع اصلی تولید مقادیر بالای NO می‌باشند. افزایش بروز iNOS و افزایش تولید NO در سلول‌های تک هسته‌ای خون محیطی بیماران مبتلا به آرتربیت روماتوئید، با فعالیت بیماری مرتبط می‌باشد.^(۱۲) iNOS در یک نقطه کنترلی مهم بیولوژیکی قرار دارد و در حساسیت به بیماری‌های مختلف شرکت می‌کند. یک موتاسیون در موقعیت ۱۵۰+ اگزون ۱۶ ژن iNOS باعث تبدیل نوکلوتید C به نوکلوتید T می‌شود که اسید آمینه Ser (سرین) در موقعیت 608 این آنزیم را تبدیل به اسید آمینه Leu (لوسین) می‌نماید که ممکن است در عملکرد آنزیم نقش داشته باشد. تست‌های عملکردی ویژه تغییر C/T برای اثبات اهمیت این پلی مورفیسم

اتانول ۷۰٪ انتقال داده شد و در ۵۰۰۰ دور به مدت ۵ دقیقه سانتریفیوژ شد و سپس اتانول ۷۰٪ کاملاً دور ریخته شد.

۶- پس از خشک شدن DNA در دستگاه Dri-block با درجه حرارت ۶۰ سانتی گراد، ۱۰۰-۳۰۰ میکرولیتر آب قطره دیونیزه به آن اضافه و ۲۴ ساعت در دمای ۳۷ درجه سانتی گراد قرار داده شد تا DNA کاملاً حل شود.

برای تعیین غلظت DNA استخراج شده، ۱۰ میکرولیتر محلول DNA با ۹۹۰ میکرولیتر آب قطره رقیق شد. جذب نوری در طول موجهای ۲۶۰ و ۲۸۰ نانومتر (به ترتیب طول موجهای ماگزیم جذب نور UV برای DNA و پروتئین) به کمک دستگاه اسپکتروفوتومتر اندازه گیری شد. نمونه هایی که نسبت جذب نوری ۲۶۰ به ۲۸۰ نانومتر آنها مساوی یا بالاتر از ۱/۵ بود، جهت انجام مراحل بعدی مورد استفاده قرار گرفتند. غلظت DNA با استفاده از فرمول زیر محاسبه گردید:

فاکتور رقت \times OD₂₆₀ = ۵۰ \times OD₂₆₀ (µg/ml) غلظت DNA PCR مورد استفاده برای غلظت نهایی DNA مورد استفاده برای روی ۳۰۰ میکروگرم در میلی لیتر (۰/۳ میکروگرم در میلی لیتر) تنظیم شد و جهت انجام PCR مورد استفاده قرار گرفت.

در روش PCR-Alele-Specific، برای هر نمونه DNA، دو لوله انتخاب شد. لوله شماره ۱، برای تکثیر آل نوع اول و لوله شماره ۲، جهت تکثیر آل نوع دوم در نظر گرفته شد. به هر دو لوله مواد به ترتیب براساس مقادیر درج شده در زیر اضافه شد (تنها تفاوت لوله شماره ۱ و ۲ در پرایمر Forward بود). جهت اطمینان از نتایج PCR، از کنترل داخلی استفاده شد. کنترل داخلی در این بررسی، ژن بتاگلوبین بود. محتويات لوله ها توسط چرخش سریع و کوتاه مدت با میکروسانتریفیوژ کاملاً مخلوط شدند و جهت انجام مراحل PCR، در دستگاه

تخصص روماتولوژی انتخاب شدند. اطلاعات مربوط به تاریخچه بیماری و وضعیت بالینی از قبیل تعداد و نوع مفاصل درگیر، وجود دفرمیتی، خوردگی، RF، ESR و ... با استفاده از پرونده بیماران جمع آوری شد.

در این مطالعه ۲۳۲ فرد نرمال با میانگین سنی $40 \pm 9/52$ سال و محدوده سنی ۱۹-۷۴ سال که قادر هر گونه علامت یا نشانه ای از بیماری های خودایمنی در خود یا بستگان درجه اول خود بوده و سابقه بیماری خاصی نداشتند، به عنوان گروه کنترل بررسی شدند. از افراد مورد مطالعه، حدود ۵۰۰ خون محیطی EDTA و به لوله های حاوی ۷۵ میکرولیتر (Ethylenediaminetetraacetic acid) PH=۸ انتقال داده شد.

بررسی پلی مورفیسم ژن NOS2A با استخراج DNA به روش Salting out با شرح زیر بود:
۱- به ۳-۵ سی سی خون حاوی EDTA، جهت حذف گلبول های قرمز، ۷-۱۰ سی سی از تریس بافر ۱ (PH=۸) اضافه و به مدت ۱۰ دقیقه در ۳۰۰۰ دور سانتریفیوژ شد. سپس مایع رویی دور ریخته شد و عمل فوق بر روی رسوب باقی مانده، ۲-۳ بار تکرار گردید تا مایع رویی کاملاً بی رنگ و شفاف شد.

۲- رسوب حاصل با استفاده از ۱ سی سی محلول تریس بافر ۲ (PH=۸) در دمای ۵۶ درجه سانتی گراد به مدت ۲۵ دقیقه لیز شد تا مایع شفاف بdest آمد.

۳- به منظور جداسازی پروتئین ها از DNA، به نمونه ها ۰/۵ سی سی محلول اشباع کلرید سدیم (NaCl) اضافه شد و به مدت ۱۵ دقیقه در ۳۵۰۰ دور سانتریفیوژ شد.

۴- مایع رویی به آرامی به لوله فالکون دیگری منتقل و ۱-۱/۵ سی سی اتانول خالص به آرامی به آن اضافه شد و پس از چند مرتبه سر و ته نمودن لوله جهت مخلوط شدن، رشته های DNA، تجمع یافته و بصورت کلاف قابل رویت درآمد.

۵- کلاف DNA به لوله اپندورف حاوی ۱ سی سی

مورد استفاده قرار گرفت. این آنزیم توالی ۵'...۳' A A T T...۳' را در صورت وجود شناسایی و هضم می‌نمود. برای انجام واکنش نمونه‌ها در انکوباتور در دمای ۶۵ درجه سانتی‌گراد به مدت ۱۶ ساعت قرار داده شدند.

حجم و غلظت مواد، توالی پرایمرها و برنامه‌های PCR مورد استفاده جهت تکثیر ژن iNOS در جدول‌های شماره ۱، ۲ و ۳ به نمایش در آمده است.

جدول شماره ۲- پرایمرهای مورد استفاده جهت تکثیر ژن NOS2A

روش	توالی آغازگرها
PCR	T -' فوروارد ۵: اختصاصی CCT TGA ACA AGG CAG AAC T -۳'
Alelle Specific -۱۶۵۹ C/T	C -' فوروارد ۵: اختصاصی CCT TGA ACA AGG CAG AAC C -۳' ۵'- معکوس مشترک GCT CTG GCT TAT GGA GCA TC -۳' ۵'- GTG AAA GCA GCT: فوروارد
RFLP -۱۶۵۹ C/T	ACA GGG GA -۳' ۵'- معکوس AAT CCT GGC CTT AGG GAG TG -۳' ۵'- TGT AAA CCA ACT: فوروارد
RFLP +۱۵۰ C/T	TCC GTG -۳' ۵'- GTC TCT GCG GGT CTG AGA AG -۳'
روش	توالی آغازگرها
PCR	T -' فوروارد ۵: اختصاصی CCT TGA ACA AGG CAG AAC T -۳'
Alelle Specific -۱۶۵۹ C/T	C -' فوروارد ۵: اختصاصی CCT TGA ACA AGG CAG AAC C -۳' ۵'- معکوس مشترک GCT CTG GCT TAT GGA GCA TC -۳' ۵'- GTG AAA GCA GCT: فوروارد
RFLP -۱۶۵۹ C/T	ACA GGG GA -۳' ۵'- معکوس AAT CCT GGC CTT AGG GAG TG -۳' ۵'- TGT AAA CCA ACT: فوروارد
RFLP +۱۵۰ C/T	TCC GTG -۳' ۵'- GTC TCT GCG GGT CTG AGA AG -۳'

ترموسایکلر قرار گرفتند.

در روش PCR-RFLP، برای هر نمونه DNA، به هر لوله، مواد به ترتیب براساس مقداری درج شده در زیر اضافه شد و محتويات لوله‌ها توسط چرخش سریع و کوتاه مدت با میکروسانتریفیوژ کاملاً مخلوط شدند و روغن معدنی جهت جلوگیری از تبخیر مواد در هنگام انجام PCR، اضافه شد و جهت انجام مراحل PCR، در دستگاه ترموسایکلر قرار گرفتند. سپس ۳ میکرولیتر از محصول PCR جهت اطمینان از انجام واکنش الکتروفورز گردید. پس از اطمینان از انجام واکنش PCR به ۷ میکرولیتر محصول باقیمانده طبق فرمول ذیل آنزیم اضافه شد:

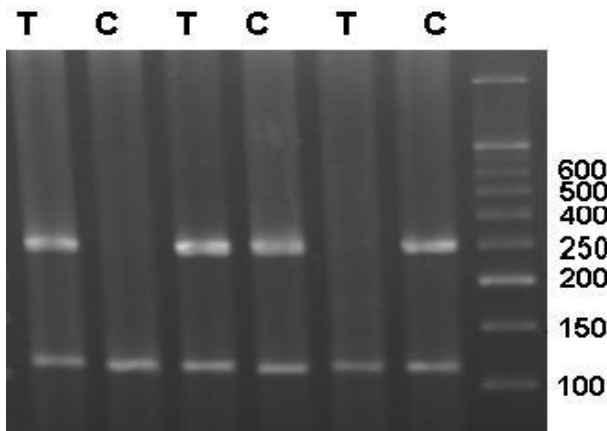
Restriction Enzyme (10units/µl): 0. 2 µl
Buffer B (10 X): 1. 4 µl
Deionized water: 5. 4 µl

جدول شماره ۱- حجم و غلظت مواد مورد استفاده در تست‌های PCR

ترکیبات	حجم		
	Alelle Specific -۱۶۵۹ C/T	RFLP C/T -۱۶۵۹	RFLP C/T +۱۵۰
آب مقطّر	۳ میکرولیتر	۴/۸ میکرولیتر	۱/۴ میکرولیتر
PCR بافر	۱ میکرولیتر	۱ میکرولیتر	۱ میکرولیتر
MgCl ₂	۰/۷ میکرولیتر	۰/۰ میکرولیتر	۰/۰۹ میکرولیتر
dNTP	۰/۲ میکرولیتر	۰/۰ میکرولیتر	۰/۰ میکرولیتر
آغازگر فوروارد	۱ میکرولیتر	۱ میکرولیتر	۱ میکرولیتر
آغازگر معکوس	۱ میکرولیتر	۱ میکرولیتر	۱ میکرولیتر
فوروارد درونی	۱ میکرولیتر	-	-
معکوس درونی	۱ میکرولیتر	-	-
DNA	۱ میکرولیتر	۱ میکرولیتر	۱ میکرولیتر
Taq پلی مراز	۰/۱ میکرولیتر	۰/۰ میکرولیتر	۰/۱ میکرولیتر

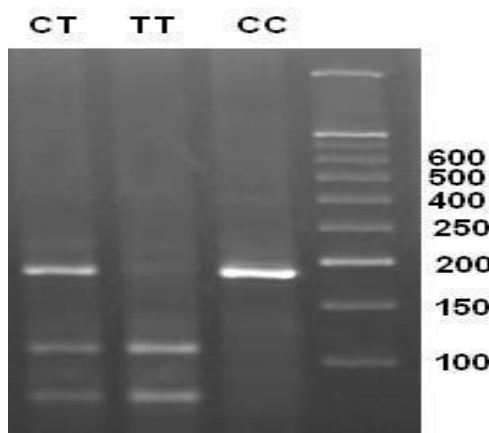
در موقعیت ۱۶۵۹- آنزیم (MaeI) FspBI توالی ۳'...۳' A T G...۵' را در صورت وجود شناسایی و هضم می‌نمود. برای انجام واکنش، نمونه‌ها در انکوباتور در دمای ۳۷ درجه سانتی‌گراد به مدت ۱۶ ساعت قرار داده شدند. جهت تعیین الل‌ها در موقعیت ۱۵۰+، آنزیم

PCR بر روی ژل آکریلامید ۱۲٪ را نشان می‌دهد.



شکل شماره ۱- الکتروفورز محصولات (Allele Specific) ژن NOS2A 1659C/T PCR (بر روی ژل آکریلامید)

پلی مورفیسم موجود در موقعیت 1659C/T با روش RFLP PCR نیز مورد بررسی قرار گرفت. از تکثیر اولیه این قطعه، باندی به طول 200 جفت باز تشکیل گردید که پس از هضم با آنزیم محدودکننده BI (Mae I) Fsp BI، در صورت وجود ژنتوتیپ هموزیگوت CC، محصول PCR به صورت دست نخورده باقی می‌ماند و در صورت وجود ژنتوتیپ هموزیگوت TT، ۲ باند و در صورت وجود ژنتوتیپ هتروزیگوت CT، ۳ باند بروجود می‌آمد. شکل شماره ۲ الکتروفورز محصولات PCR بر روی ژل آکریلامید ۱۲٪ را نشان می‌دهد.



شکل شماره ۲- الکتروفورز محصولات (PCR-RFLP) ژن NOS2A 1659C/T (بر روی ژل آکریلامید)

پلی مورفیسم موجود در موقعیت 150C/T+ اگزون ۱۶ ژن NOS2A به روش RFLP-PCR مورد بررسی قرار

جدول شماره ۳- برنامه‌های PCR جهت تکثیر ژن NOS2A

برنامه‌های PCR	روش PCR
4 مرتبه تکرار سیکل	Long denaturation 95°C 5min 1. Denaturation 95°C 30Sec -1659 C/T (Allele Specific) 2. Annealing 65°C 30Sec 3. Extention 72°C 45Sec
4 مرتبه تکرار سیکل	Final extention 72°C 5min
4 مرتبه تکرار سیکل	Long denaturation 95°C 5min 1. Denaturation 95°C 30Sec -1659 C/T (RFLP) 2. Annealing 62.5°C 30Sec 3. Extention 72°C 45Sec
10 مرتبه تکرار سیکل	+150 C/T (RFLP) Touchdown 1. Denaturation 95°C 30Sec 2. Annealing 57°C 30Sec 3. Extention 72°C 60Sec
۲۰ مرتبه تکرار سیکل	Final extention 72°C 5min

برای الکتروفورز محصولات PCR در روش PCR-Angle-Specific ۱۰ میکرولیتر و در روش PCR-RFLP ۳ میکرولیتر از محصولات PCR با ۴ میکرولیتر از loading dye مخلوط و درون حفرات ژل آگاروز ۲٪ بردۀ شد. در یکی از حفرات، مارکر وزن مولکولی DNA ریخته شد. ولتاژ مورد استفاده، ۱۰۰ ولت و مدت زمان الکتروفورز، ۶۰ دقیقه بود. برای مشاهده تسایچ ژل بر روی دستگاه UV Transilluminator منتقال داده شد. محصولات حاصل از هضم آنزیمی در روش PCR-RFLP در ژل آگارز ۲/۵٪ الکتروفورز شدند.

آنالیز آماری اطلاعات حاصل از بررسی فراوانی ژنتوتیپ‌ها و آلل‌ها در بیماران و گروه کنترل با کمک برنامه آماری SPSS با استفاده از آزمون‌های آماری مجذور کای (χ^2) و Fisher's exact انجام گرفت.

یافته‌ها

با انجام آزمایش PCR یک باند به طول 250 جفت باز از تکثیر پرومومتر ژن NOS2A و یک باند به طول 100 جفت باز در اثر تکثیر ژن بتا گلوبین (کنترل داخلی) حاصل گردید. شکل شماره ۱ الکتروفورز محصولات

محاسبه شد. نتایج حاصله در جدول شماره ۶ و ۷ به نمایش در آمداند. فراوانی ژنتوتیپ‌ها در بیماران و گروه کنترل از تعادل هادری- واینبرگ تبعیت می‌نمود.

جدول شماره ۴- مقایسه فراوانی ژنتوتیپ‌های 1659C/T-در بیماران و افراد نرمال

ژنتوتیپ	بیماران (n=۱۷۶)	کنترل (n=۲۳۲)	P. value
CC	۱۱۲(٪۶۴/۲)	۱۷۴(٪۷۵)	.۰۰۳
CT	۵۵(٪۲۱/۲)	۴۶(٪۱۹/۸)	
TT	۸(٪۰/۴/۵)	۱۲(٪۰/۵/۲)	

جدول شماره ۵- مقایسه فراوانی آل‌های 1659C/T-در بیماران و افراد نرمال

آل	بیماران (n=۱۷۶)	کنترل (n=۲۳۲)	P. value
C	۲۸۱(٪۷۹/۸۳)	۳۹۴(٪۸۴/۹)	.۰۱۲
T	۷۱(٪۲۰/۱۷)	۷۰(٪۱۵/۱)	

جدول شماره ۶- مقایسه فراوانی ژنتوتیپ‌های 150C/T+در بیماران و افراد نرمال

ژنتوتیپ	بیماران (n=۱۷۶)	کنترل (n=۲۳۲)	P. value
CC	۱۲۲(٪۷۰/۶)	۱۶۰(٪۶۹)	.۰۳۲
CT	۳۲(٪۱۸/۲)	۵۲(٪۲۲/۴)	
TT	۱۱(٪۶/۳)	۲۰(٪۸/۶)	

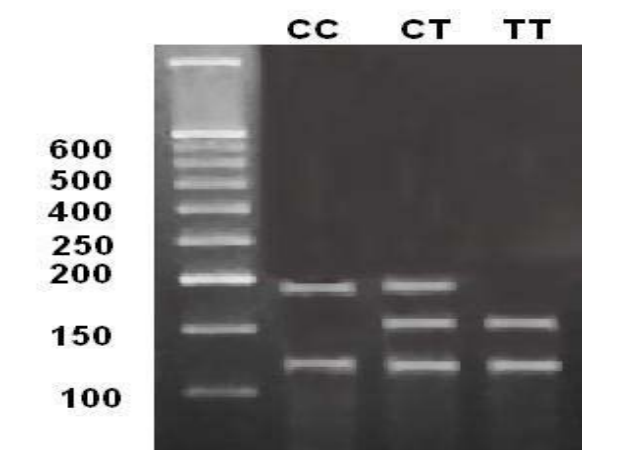
جدول شماره ۷- مقایسه فراوانی آل‌های 150C/T+در بیماران و افراد نرمال

آل	بیماران (n=۱۷۶)	کنترل (n=۲۳۲)	P. value
C	۲۹۸(٪۸۴/۷)	۳۷۲(٪۸۰/۲)	.۰۱۲
T	۵۴(٪۱۵/۳)	۹۲(٪۱۹/۸)	

پرونده کلینیکی بیماران، مورد مطالعه قرار گرفت و میزان پرتوئین فازحاد (CRP) سرمی، فاکتور روماتوئید (RF) سرمی، علائم خارج مفصلی مفاصل رو (Extra articular manifestation =EAM)، مفاصل (Deformity)، ندول رو (Nodule)، خوردگی مفاصل (Erosion)، سرعت رسوب گلبول‌های

گرفت. از تکثیر اولیه این قطعه باندی به طول ۲۷۵ جفت باز تشکیل گردید که پس از هضم آنزیمی به کمک آنزیم EI (Tas I) Tsp CC، ۲ باند به طول ۱۷۵ و ۱۱۳ جفت باز و در صورت وجود ژنتوتیپ هموزیگوت ۳ باند به طول ۱۷۵، ۱۴۲ و ۱۱۳ جفت باز بوجود می‌آمد. شکل شماره ۳ الکتروفورز محصولات PCR بر روی ژل آکریلامید ۱۲٪ را نشان می‌دهد.

فراوانی ژنتوتیپ‌ها و آلل‌ها در بیماران و گروه کنترل در جدول شماره ۴ و ۵ به نمایش در آمدند. فراوانی ژنتوتیپ‌ها در بیماران و گروه کنترل تابع تعادل هادری- واینبرگ (Hardy-Weinberg) بود. در مقایسه فراوانی ژنتوتیپ‌ها و آلل‌های حاصل از پلی مورفیسم 1659C/T- پروموتر ژن NOS2A، در بیماران و گروه کنترل، تفاوت معنی‌داری از نظر آماری در مقایسه فراوانی ژنتوتیپ‌ها مشاهده گردید (به ترتیب P=.۰۰۳ و P=.۰۱۲). ژنتوتیپ CC به طور قابل ملاحظه‌ای در گروه کنترل (٪۷۵) بیشتر از گروه بیمار (٪۶۴/۲) مشاهده شد.



شکل شماره ۳- الکتروفورز محصولات PCR +150C/T) بر روی ژن NOS2A آکریلامید گزون ۱۶٪

فراوانی ژنتوتیپ‌ها و آلل‌ها در بیماران و گروه کنترل با استفاده از تست χ^2 (مجذور کای)، مقایسه و مقادیر ارزشی این مقایسه‌ها به ترتیب P=.۰۳۳ و P=.۰۱۸

پیراپیش متناظر (messenger Ribonucleic acid) mRNA فعالیت و بروز iNOS را تنظیم می‌نمایند.^(۲۱) آنزیم iNOS mRNA مربوط به آن، بسیار پایدار می‌باشد^(۲۲) و به همین دلیل قادر به تولید مقادیر زیادی NO در طی چندین روز می‌باشد که منجر به تولید میزان زیادی از گونه‌های فعال (Reactive Nitrogen Oxide Species = RNOS) می‌گردد، که واسطه طیف گسترده‌ای از تأثیرات فیزیولوژیک و پاتوفیزیولوژیک می‌باشد.^(۲۳) مطالعات ژنتیکی تا حدودی نقش ژن NOS2A را در بروز آرتیریت روماتوئید تأیید می‌نمایند. یک مطالعه غربالگری ژنومی گسترده (Genome Wide Screen) در آمریکا، ارتباط معنی‌داری بین برخی نواحی موجود بر روی کروموزوم‌های ۱، ۴، ۱۲، ۱۶ و ۱۷ با بیماری آرتیریت روماتوئید را نشان داده است.^(۲۴) ناحیه موجود بر روی کروموزوم ۱۷ (RA17) نامیده می‌شود که حاوی میکروساتلتیت (D17S1301) می‌باشد که در نزدیکی انتهای تلومریک بازوی بلند کروموزوم ۱۷ قرار گرفته است. ژن NOS2A نیز بر روی بازوی بلند کروموزوم ۱۷ در نزدیکی سانتروم این کروموزوم (17q11.2-q12) قرار گرفته است. با توجه به وجود ارتباط بین کروموزوم ۱۷ و آرتیریت روماتوئید، در مطالعات غربالگری ژنومی گسترده می‌توان ژن NOS2A را به عنوان یک ژن کاندید در بروز این بیماری مطرح نمود. پلی مورفیسم‌های موجود در ناحیه ۵ پروموتور ژن NOS2A، میزان بروز آنزیم iNOS را تحت تأثیر قرار می‌دهند.^(۲۵) مطالعات نشان داده‌اند که پلی مورفیسم‌های موجود در ژن NOS2A موجب استعداد ابتلا به بیماری‌های واسكولار، عفونی، التهابی و خودایمن می‌گردند.^(۲۶-۲۸) دو سایت پلی مورفیک در ناحیه فرادست پرموتور با اهمیت عملکردی وجود دارد. یکی از آن‌ها پتانوکلئوتید بسیار پلی مورفیک توالی تکراری n (CCTTT) واقع در 2.5 kb فرادست ژن NOS2A و دیگری تکرار چهار نوکلئوتیدی دو آللی (AAAT/AAAAT) واقع در 0.75 kb فرادست این ژن

قرمز (ESR) و سن شروع بیماری، جمع‌آوری و ثبت گردید. میانگین سن (Deformity)، ندول روماتوئید (Erosion)، خوردگی مفاصل (Nodule) و سرعت رسوب گلbulول‌های قرمز (ESR) و سن شروع بیماری، جمع‌آوری و ثبت گردید. میانگین سن شروع بیماری، ۳۵/۸±۱۱/۵ سال و میانگین طول دوره بیماری، ۹/۳±۶/۲ سال بود. آنالیز آماری فراوانی ژنوتیپ‌های حاصل از دو پلی مورفیسم مذکور با علائم بیماری و یافته‌های آزمایشگاهی تفاوت معنی‌داری را نشان نمی‌دهد. میانگین میزان ESR (Erythrocyte sedimentation rate) در بیماران، ۳۵/۱۸±۲۲/۸ میلی‌متر بر ساعت بود. آنالیز آماری (One-Way ANOVA) با استفاده از تست آنوفا یک طرفه (One-Way ANOVA) نشان تفاوت معنی‌داری بین ESR و ژنوتیپ‌های C/T نداد (P=۰/۸۹). لیکن تفاوت معنی‌داری بین ESR و ژنوتیپ‌های C/T مشاهده گردید (P=۰/۰۱). هیچ ارتباط معنی‌داری بین سن بروز بیماری و ژنوتیپ‌های پلی مورفیسم‌های مذکور مشخص نگردید.

بحث

تولید iNOS توسط IL-1 LPS (Interleukin-1) و TNF-α (Interferon-γ) IFN-γ (Tumor Necrosis Factor-α) GM-CSF (Platelet – activating Factor) PAF (Granulocyte Monocyte – Colony – Stimulating Factor) و IL-6 فراتنظیم می‌شود.

گلوكوكورتيكoidها و فاكتور غير فعال‌کننده ماکروفاز IL-10، IL-8 (Macrophage Deactivating Factor = MDF) NO (Platelet Derivative Growth Factor) PDGF، IL-4 (Transforming Growth Factor-β) TGF-β و NO (Nitric Oxide) تولید آن را مهار می‌نمایند.^(۱۰) بعلاوه برهmekش‌های پروتئین-پروتئین، تغییرات و اصلاحات پیوندهای کووالان و

ضروری است. آنزیم iNOS توسط سایتوکاین‌های پیش التهابی و التهابی القا می‌شود. احتمال دارد که پلی مورفیسم‌های عملکردی موجود در ژن این سایتوکاین‌ها نیز با تأثیر بر افزایش بروز سایتوکاین‌های التهابی و در نتیجه افزایش بروز ژن NOS2A، سبب استعداد ابتلا به بیماری آرتربیت روماتوئید گردد؛ برای مثال در مطالعات متعددی نقش پلی مورفیسم‌های موجود در ژن TNF- α در بروز و شدت بیماری آرتربیت روماتوئید مشخص شده است.^(۲۳-۲۵) با توجه به نقش این سایتوکاین‌ها در القا ژن NOS2A، با تأثیر بر میزان بروز ژن NOS2A، سبب استعداد یا مقاومت به این بیماری می‌گردد.^(۲۳-۲۵)

یکی از پلی مورفیسم‌های مهم موجود در پروموتور ژن NOS2A، پلی مورفیسم T-1659C/T-1659C باشد. ارتباط بین این پلی مورفیسم و بیماری مالاریا و عفونت HCV مورد مطالعه قرار گرفته است.^(۲۰ و ۱۸) رابطه پلی مورفیسم +150C/T+150C/T با اگزون ۱۶ ژن NOS2A با دیابت نوع I سرطان گاستریک و مالتیپل اسکلروزیس مورد بررسی قرار گرفته است.^(۲۷ و ۱۵) تا کنون ارتباط پلی مورفیسم‌های -1659C/T-1659C/T و +150C/T+150C/T با بیماری آرتربیت روماتوئید بررسی نشده‌اند؛ لذا در این تحقیق ارتباط بین دو پلی مورفیسم مذکور و آرتربیت روماتوئید مورد مطالعه قرار گرفته است.

پلی مورفیسم موجود در ناحیه 1659-پروموتور ژن NOS2A باعث تبدیل نوکلئوتید C به نوکلئوتید T می‌شود. این تبدیل اتصال پروتئین‌های هسته‌ای به پروموتور را تحت تأثیر قرار می‌دهد.^(۲۰) Burgner و همکاران در سال ۲۰۰۳ به منظور مطالعه تأثیر پلی مورفیسم T-1659C/T-1659C/T از رده سلولی شبه برهمکنش‌های پروتئین-DNA از رده سلولی شبه ماکروفازی انسانی به نام HL-60^{hea} (یک چسبنده مشتق از HL-60) استفاده نمودند. LPS موجب القا نسخه برداری از ژن NOS2A و سنتز آنزیم iNOS و متعاقباً تولید NO در این رده سلولی می‌شود. در این آزمایش عصاره

می‌باشد.^(۲۹) تفاوت‌های معنی‌داری در فعالیت پروموتور در این دو واریانت یافت شده است. احتمال دارد افراد دارای R4/5 AAAT/AAAAT در مقایسه با حاملین R4/4 NO بیشتری تولید نمایند؛^(۲۰) بعلاوه این تفاوت‌ها در میزان بروز ژن NOS2A، باعث استعداد ابتلا یا مقاومت به بیماری آرتربیت روماتوئید نیز می‌گردد.^(۲۴)

Gay و همکاران (۲۰۰۴)، ارتباط بین پنتا نوکلئوتید بسیار پلی مورفیک n (CCTTTn) موجود در پروموتور ژن NOS2A را با بیماری آرتربیت روماتوئید بررسی نمودند.^(۲۴) نتایج حاصل از این مطالعه اختلافی بین بیماران مبتلا به این بیماری و گروه کنترل نشان نداد. لیکن ارتباط نسبتاً معنی‌داری بین افزایش فراوانی 10-repeat alleles و بروز بیماری مشاهده شد (P=0.08). از طرفی آلل‌های با کمتر از ۱۲ تکرار، مولد مقادیر کم NO هستند.^(۲۲ و ۲۵-۲۴) وقتی که آلل‌های ژن NOS2A به دو گروه تکرارهای کمتر و بیشتر از تکرار ۱۲ تقسیم‌بندی شد، اختلاف معنی‌داری بین بیماران و گروه کنترل مشاهده گردید (P=0.021) به طوریکه افراد حامل دو آلل با کمتر از ۱۲ تکرار (low producer) NO دو برابر بیشتر از سایر افراد مستعد پیشرفت این بیماری بودند (P=0.005).^(۲۴) از آنجایی که NO تنظیم‌کننده مهم تعادل Th1/Th2 می‌باشد و پاسخ سایتوکاینی Th1 را سرکوب می‌نماید، در افرادی که حامل دو آلل با کمتر از ۱۲ تکرار هستند، پاسخ‌های اینمی به سمت پاسخ‌های Th1 تمایل می‌شود؛ لذا این افراد مستعد ابتلا به بیماری‌های خودایمن وابسته به Th1 (مانند آرتربیت روماتوئید) می‌باشند.^(۲۴) ممکنست نقش بالقوه آلل‌های با تکرار کوتاه بواسطه دیگر پلی مورفیسم‌هایی باشد که در حرکت ترجیحی با آلل‌های n (CCTTTn) بوده و بر روی کروموزوم ۱۷q قرار دارند. مطالعات بیشتر در جمعیت‌های مختلف جهت اثبات قطعی نقش پلی مورفیسم ژن NOS2A در آرتربیت روماتوئید و ارتباط آن با دیگر ژن‌های درگیر در استعداد ابتلا به بیماری

نگردید. این موضوع نشان دهنده ارجحیت بررسی هاپلوتیپی پرموتر ژن NOS2A می باشد. براساس نتایج حاصل از این مطالعه نمی توان پیش بینی نمود که کدامیک از آل های حاصل از پلی مورفیسم مذکور با تولید بیشتر یا کمتر NO همراهند.

Burgner و همکاران در سال ۲۰۰۳، ارتباط این پلیمورفیسم و بیماری مالاریای مغزی را در کودکان گامبیایی مورد بررسی قراردادند^(۲۰) و ارتباط نسبتاً معنی داری بین ژنتیپ های حاصل از این پلیمورفیسم و بیماری مالاریا مشاهده نمودند ($P=0.08$). فراوانی آلل T در کودکان مبتلا به مالاریای مغزی به طور معنی داری در مقایسه با گروه کنترل بیشتر می باشد ($P=0.009$). با توجه به آنکه افزایش تولید NO یکی از فاکتورهای مهم جهت استعداد ابتلا به مالاریای مغزی می باشد، می توان چنین نتیجه گیری کرد که آلل T با افزایش تولید NO سبب حساسیت به بروز مالاریای مغزی می شود و آلل C با کاهش قدرت تولید NO، سبب مقاومت به بروز مالاریای مغزی می شود. در مطالعه حاضر فراوانی آلل T در بیماران مبتلا به آرتربیت روماتوئید و گروه کنترل به ترتیب $20/2$ % و $15/2$ % می باشد؛ لذا می توان چنین نتیجه گیری نمود که فراوانی بیشتر آلل T در بیماران با افزایش تولید NO، سبب افزایش استعداد ابتلا به بروز آرتربیت روماتوئید گردیده است. با توجه به حرکت ترجیحی قوی بین سایتهاي پلیمورفیک در پرموتور ژن NOS2A^(۱۸-۱۹) پیشنهاد می گردد که در مطالعات آینده، تأثیر پلیمورفیسم C/T-1659 به همراه دیگر پلیمورفیسم های موجود در پرموتور ژن NOS2A بی روز آرتربیت روماتوئید مورد مطالعه قرار گیرد.

در این مطالعه ارتباط پلیمورفیسم موجود در موقعیت T_{C/T}+150C/16 ژن NOS2A با بروز بیماری آرتربیت روماتوئید نیز مورد بررسی قرار گرفت. این پلیمورفیسم باعث تبدیل اسید آمین سرین آنزیم iNOS در موقعیت 608 به اسید آمینه لووسین می‌گردد.

هسته‌ای سلول‌های تحریک نشده و تحریک شده با LPS به مدت ۳۰ دقیقه) با یک پروب Oligoduplex حاوی ناحیه NOS2A-1659 انکوبه گردیدند. برای هر دو فرم الی یک کمپلکس پروتئین-DNA مشاهده شد که بدنبال تحریک با LPS به طور معنی‌داری فرا تنظیم گردید. از طرفی Burgner و همکاران نشان دادند که کمپلکس‌های ساختاری و القایی شکل گرفته در حضور ال NOS2A-1659C به طور قابل توجهی از ال NOS2A-1659T بیشتر می‌باشد؛ بنابراین میزان کمپلکس پروتئین-DNA در سلول‌های در حال استراحت و تحریک شده با LPS در صورت وجود آلل NOS2A-1659T کاهش می‌یابد. در نتیجه می‌توان چنین نتیجه‌گیری کرد که میزان تولید NO توسط دو آلل فوق مقاومت است. (۲۰)

با توجه به نقش احتمالی پلی مورفیسم T1659C/G در بروز آنزیم iNOS و نقش مهم و اساسی NO و آنزیم iNOS در بیماری آرتریت روماتوئید و اهمیت عملکردی پلی مورفیسم T1659C/G، فراوانی ژنوتیپ‌های حاصل از این پلی مورفیسم در بیماران مبتلا به آرتریت روماتوئید و افراد نرمال مورد مقایسه قرار گرفت و پس از تجزیه و تحلیل آماری تنها تفاوت معنی‌داری بین فراوانی ژنوتیپ‌ها در گروه بیمار و کنترل مشاهده گردید ($P=0.03$). این تحقیق اولین مطالعه‌ای است که ارتباط بین پلی مورفیسم T1659C/G و بیماری آرتریت روماتوئید را نشان می‌دهد؛ پیشنهاد می‌گردد که فراوانی ژنوتیپ‌ها و آل‌های حاصل از پلی مورفیسم T1659C/G در جوامع مختلف و تأثیر آن بر بروز روماتوئید آرتریت مورد بررسی قرار گیرد.

Yee و همکاران در سال ۲۰۰۱ ارتباط بین هاپلوتیپ - ۱۶۵۹C/T و عفونت HCV را در بیماران اروپایی ثابت نمودند.^(۲۰) همچنان که تفاوتی در پراکنش ژنوتیپ‌های مختلف حاصل از پلی‌مورفیسم ۱۶۵۹C/T در بیماران مبتلا به عفونت مزمن و خودبهخود محدود شونده HCV مشاهده شد.

روماتوئید را بررسی می‌نماید. با توجه به عدم وجود هماهنگی در نتایج حاصله از تأثیر این پلی‌مورفیسم بر بیماری‌های مختلف (عدم تأثیر بر آرتربیت روماتوئید و مالتیپ اسکلروزیس و تأثیر بر بروز سرطان گاستریک) مطالعه تأثیر این پلی‌مورفیسم بر میزان تولید NO ضروری به نظر می‌رسد.

ارتباط معنی‌داری بین علائم بالینی و پاراکلینیکی و سن بروز بیماری آرتربیت روماتوئید و آل‌های $+150\text{C/T}$ و -1659C/T - ژن NOS2A مشاهده نگردید. لیکن تفاوت معنی‌داری بین ESR بیماران و ژنوتیپ‌های $+150\text{ C/T}$ مشاهده گردید ($P=0.01$), اما به دلیل متفاوت بودن سن بیماران، طول دوره بیماری و اندازه‌گیری ESR در مراحل مختلف بیماری، نیاز به تکرار نتایج حاصل از ارتباط ESR و ژنوتیپ‌های $\text{C/T} + 150$ در یک جمعیت هوموزن از بیماران احساس می‌گردد.

نتیجه‌گیری

می‌توان نتیجه‌گیری نمود که پلی‌مورفیسم -1659C/T تنها با استعداد ابتلا به بیماری ارتباط دارد. پیشنهاد می‌شود که در مطالعات آتی جهت القا این آنزیم از محرك‌هایی مثل سایتوکاین‌ها استفاده شود. تعیین میزان بروز iNOS با استفاده از تکنیک‌های چون فلوسایتوometری پیشنهاد می‌شود، تا نقش قطعی پلی‌مورفیسم‌های موجود در این ژن بر میزان بروز آنزیم بهتر مشخص گردد.

تقدیر و تشکر

این مطالعه با حمایت مالی دانشگاه علوم پزشکی شیراز در قالب پایان‌نامه انجام گرفته است. بدین وسیله از مدیریت و کارکنان محترم سازمان انتقال خون شیراز به دلیل مساعدت در امر نمونه‌گیری و سایر همکارانی که ما را در اجرای این طرح یاری کردند تشکر و قدردانی می‌نمائیم.

^(۱۵) $\text{Ser}^{608}\text{Leu}$ که ممکن است در عملکرد آنزیم نقش داشته باشد؛ زیرا اسید آمینه قطبی سرین با گروه R بدون شارژ، به اسید آمینه لوسین با گروه R با شارژ مثبت تبدیل می‌شود. این تبدیل می‌تواند بر اتصال سوبستراتها به آنزیم تأثیر داشته باشد.

Johannesen و همکاران در سال ۲۰۰۱ ارتباط بین این پلی‌مورفیسم و دیابت نوع I را در بیماران دانمارکی گزارش نمودند.^(۱۶) بر اساس نتایج حاصله، انتقال آل T از والدین به فرزندان بیمار بیشتر صورت می‌گیرد. با توجه به آنکه تولید بیشتر NO به بروز دیابت نوع I کمک می‌نماید، بر اساس نتایج این مطالعه می‌توان چنین عنوان کرد که آل T با تولید بیشتر NO همراه است.^(۱۷)

در مطالعه انجام شده توسط Barcellos و همکاران در سال ۲۰۰۴ ارتباطی بین پلی‌مورفیسم $+150\text{C/T}$ و ژن NOS2A و بیماری مالتیپ اسکلروزیس مشاهده نشد؛^(۱۸) بنابراین این پلی‌مورفیسم در استعداد ابتلا به مالتیپ اسکلروزیس نقش ندارد.^(۱۹) از طرفی Shen و همکاران در سال ۲۰۰۴ مشاهده نمودند که پلی‌مورفیسم $+150\text{C/T}$ خطر ابتلا به سرطان گاستریک را در بیماران چینی افزایش می‌دهد. در این مطالعه فراوانی ژنوتیپ CC در بیماران و گروه کنترل به ترتیب 52% و $72/52\%$ و $76/8\%$ گزارش شده است.^(۲۰) تولید NO توسط ماکروفازهای فعال با ایجاد آسیب در DNA در کارسینوژن نقش دارد. جایگزینی C با T در ژن NOS2A منجر به بروز iNOS در سلول‌های هدف فعال شده می‌گردد که باعث تولید NO در مقادیر بالا می‌شود. بیماران مبتلا به سرطان گاستریک حامل آل T ممکن است میزان تولید NO را در موکوس گاستریک افزایش دهند. نتایج حاصل از مطالعه حاضر تفاوت معنی‌داری بین گروه بیمار و کنترل نشان نداد ($P=0.33$).^(۲۱)

این تحقیق اولین مطالعه‌ای است که ارتباط پلی‌مورفیسم $+150\text{C/T}$ و بیماری آرتربیت

فهرست منابع

- 1- Kavanaugh AF, Lipsky PE. Rheumatoid arthritis. Robert R. Rich, Thomas A. Fleisher, William T. Shearer, Harry W. Schroeder, Anthony J. Frew, Cornelia M. Weyand, editors. In: Clinical Immunology Principles and Practice. 3rd ed. St Louis: Mosby Year Books; 2000. P. 1093–116.
- 2- Steven B Abramson, Ashok R Amin, Robert M Clancy, Makhondan Attur. The role of nitric oxide in tissue destruction. Best Practice & Research Clin Rheumatol 2001; 15: 831-45.
- 3- Lotz M. The role of nitric oxide in articular cartilage damage. Rhematic Dis Clin Nor America 1999; 25: 269-82.
- 4- Hirai Y, Migita K, Honda S, Ueki Y, Yamasaki S, Urayama S, et al. Effects of nitric oxide on matrix metalloproteinase-2 production by rheumatoid synovial cells. Life Science 2001; 68: 913-20.
- 5- Clancy R, Abramson SB, Kohne C, Rediske J. Nitric oxide attenuates cellular hexose monophosphate shunt response to oxidants in articular condrocytes and acts to promote oxidant injury. J Cellular Physiol 1997; 172: 183-91.
- 6-Van't Hof RJ, Hoking L, Wright PK, Ralston SH. Nitric oxide is mediator of apoptosis in the rheumatoid joint. Rheumatology (Oxford) 2000; 39: 1004-8.
- 7- Clancy RM, Amin AR, Abramson SB. The role of nitric oxide in inflammation and immunity. Arthritis Rheum 1998; 41: 1141-51.
- 8- Grabowski PS, Wright PK, Van 't Hof RJ, Helfrich MH, Ohshima H, Ralston SH. Immunolocalization of inducible nitric oxide synthase in synovial and cartilage in rheumatoid arthritis and osteoarthritis. Br J Rheumatol 1997; 36: 651-55.
- 9- Stefanovic RM, Stadler J, Evans CH. Nitric oxide and arthritis. Arthritis Rheum 1993; 36: 1036-44.
- 10- Kroncke KD, Fehsel K, Kolb-BV. Inducible nitric oxide synthase in human diseases. Clin Exp Immunol 1998; 113: 147-56.
- 11- Borderie D, Hilliquin P, Hernvann A, Kahan A, Menkes CJ, Ekindjian OG. Nitric oxide synthase is expressed in the lymphomononuclear cells of synovial fluid in patients with rheumatoid arthritis. J Rheumatol 1999; 26: 2083-88.
- 12- Anderw PJ, Harant H, Lindley IJ. Up-regulation of interleukin-1 beta stimulated interleukin-8 in human keratinocytes by nitric oxide. Biochem Pharmacol 1997; 57: 1423-29.
- 13- St Clair EW, Wilkinson WE, Lang T, Sanders L, Misukonis MA, Gilkeson GS, et al. Increased expression of blood mononuclear cell nitric oxide synthase type 2 in rheumatoid arthritis patients. J Exp Med 1996; 184: 1173-78.
- 14- Yki JH, Bergholm R, Leirisalo RM. Increased inflammatory activity parallels increased basal nitric oxide production and blunted response to nitric oxide in vivo in rheumatoid arthritis. Ann Rheum Dis 2003; 62: 630-34.
- 15- Johannessen J, Pie A, Pociot F, Kristiansen OP, Karlsen AE, Nerup J. Linkage of the Human Inducible Nitric Oxide Synthase Gene to Type 1 Diabetes. J Clin Endocrinol Metabol 2001; 86: 2792-96.
- 16- Daff S, Sagami I, Shimizu T. The 42-amino acid insert in the FMN domain of neuronal nitric-oxide synthase exerts control over Ca (21)/calmodulin-dependent electron transfer. J Biol Chem 1999; 274: 30589 –95.
- 17- Venema RC, Sayegh HS, Kent JD, Harrison DG. Identification, characterization, and comparison of the calmodulin-binding domains of the endothelial and inducible nitric oxide synthases. J Biol Chem 1996; 271: 6435-40.
- 18- Yee LJ, Knapp S, Burgner D, Hennig BJ, Frodsham AJ, Wright M, et al. Inducible nitric oxide synthase gene (NOS2A) haplotypes and the outcome of hepatitis C virus infection. Genes Immun 2004; 5: 183-87.
- 19- Annane D, Sanquer S, Sébille V, Faye A, Djuranovic D, Raphaël JC, et al. Compartmentalized inducible nitric-oxide synthase activity in septic shock. Lancet 2000; 355: 1143-48.
- 20- Burgner D, Usen S, Rockett K, Jallow M, Ackerman H, Cervino A, et al. Nucleotide and haplotypic diversity of the NOS2A promoter region and its relationship to cerebral malaria. Hum Genet 2003; 112: 379-86.
- 21- Hemmens B, Woschitz S, Pitters E, Klösch B, Völker C, Schmidt K, et al. The protein inhibitor of neuronal nitric oxide synthase (PIN): characterization of its action on pure nitric oxide synthases. FEBS Lett 1998; 430: 397-400.
- 22- Zamora R, Vodovotz Y, Billiar RT. Inducible nitric oxide synthase and inflammatory disease. Mol Med 2000; 6: 347-73.

- 23- Jawaheer D, Seldin MF, Amos CI, Chen WV, Shigeta R, Monteiro J, et al. A Genomewide Screen in Multiplex Rheumatoid Arthritis Families Suggests Genetic Overlap with Other Autoimmune Diseases. *Am J Hum Genet.* 2001; 68: 927–36.
- 24- Gonzalez-Gay MA, Llorca J, Sanchez E, Lopez-Nevot MA, Amoli MM, Garcia-Porrúa C, et al. Inducible but not endothelial nitric oxide synthase polymorphism is associated with susceptibility to rheumatoid arthritis in northwest Spain. *Rheumatology (Oxford)* 2004; 43:1182-5.
- 25- Warpeha KM, Xu W, Liu L, Charles IG, Patterson CC, Ah-Fat F, et al. Genotyping and functional analysis of a polymorphism (CCTTT)n repeat of NOS2A in diabetic retinopathy. *FASEB J* 1999; 13: 1825-32.
- 26- Morris JB, Glenn LC, Wilcken ELD, Wang LX. Influence of an inducible nitric oxide synthase promoter variant on clinical variables in patients with coronary. *Clin Scie* 2001; 100: 551-56.
- 27- Kumaramanickavel G, Sriprya S, Vellanki RN, Upadyay NK, Badrinath SS, Rajendran V, et al. Inducible nitric oxide synthase gene and diabetic retinopathy in Asian Indian patients. *Clin Genet* 2002; 61: 344-48.
- 28- Morris JB, Markus AM, Glenn LC, Wang LX, et al. Association of a functional inducible nitric oxide synthase promoter variant with complications in type2 diabetes. *J Mol Med* 2002; 80: 96-104.
- 29- López-Nevot MA, Ramal L, Jiménez-Alonso J, Martín J. The inducible nitric oxide synthase promoter polymorphism dose not confers susceptibility to systemic lupus erythematosus. *Rheumatology (Oxford)* 2003; 42:113-6.
- 30- Zhang W, Kuncewicz T, Yu ZY, Zou L, Xu X, Kone BC. Protein- protein interactions involving inducible nitric oxide synthase. *Acta Physiol Scand* 2003; 179: 137-42.
- 31- Kunnas TA, Mikkelsson J, Ilveskoski E, Tanner MM, Laippala P, Penttilä A, et al. A functional variant of the iNOS gene flanking region is associated with LAD coronary artery disease: an autopsy study. *Eur J Clin Invest* 2003; 33: 1032-7.
- 32- Pascual M, López-Nevot MA, Cálix R, Koeleman BP, Balsa A, Pascual-Salcedo D, et al. Genetic determinants of rheumatoid arthritis: the Inducible nitric oxide synthase (NOS2A) gene promoter polymorphism. *Genes Immun* 2002; 3: 299-301.
- 33- Vandevyver C, Raus P, Stinissen P, Philippaerts L, Cassiman JJ, Raus J. Polymorphism of the tumour necrosis factor beta gene in multiple sclerosis and rheumatoid arthritis. *Eur J Immunogenet* 1994; 21: 377–82.
- 34- Kaijzel EL, van Krugten MV, Brinkman BM, Huizinga TW, van der Straaten T, Hazes JM, et al. Functional analysis of a human tumor necrosis factor alpha (TNF-alpha) promoter polymorphism related to joint damage in rheumatoid arthritis. *Mol Med* 1998; 4: 724–33.
- 35- Brinkman BM, Huizinga TW, Kurban SS, van der Velde EA, Schreuder GM, Hazes JM, et al. Tumour necrosis factor alpha gene polymorphisms in rheumatoid arthritis: association with susceptibility to, or severity of, disease? *Br J Rheumatol* 1997; 36: 516–21.
- 36- Shen J, Wang RT, Wang LW, Xu YC, Wang XR. A novel genetic polymorphism of inducible nitric oxide synthase is associated with an increased risk of gastric cancer. *World J Gastroentrol* 2004; 10: 3278-83.
- 37- Barcellos LF, Begovich AB, Reynolds RL, Caillier SJ, Brassat D, Schmidt S, et al. Linkage and association with the NOS2A locus on chromosome 17q11 in multiple sclerosis. *Ann Neurol* 2004; 55: 793-800.

Study of NOS2A Gene Polymorphism in Rheumatoid Arthritis Patients and Normal Individuals

*B. Abd Nikfarjam, MSc^I Z. Amirghofran, PhD^{II}
 E. Aflaki, MD^{III} E. Kamali Sarvestani, PhD^{II}

Abstract

Background & Aim: Several lines of evidence have indicated that NO might be important in the pathogenesis of RA. NO could be synthesized by an enzyme called inducible nitric oxide synthase (iNOS). iNOS is expressed in the synovium, cartilage and lymphomononuclear cells of synovial fluid and lymphocytes and monocytes of peripheral blood of RA patients. Several studies have shown that iNOS gene (NOS2A) polymorphisms have been associated with a number of inflammatory and autoimmune diseases. In the present study the frequency of NOS2A gene polymorphism at positions -1659 C/T and +150 C/T was investigated in patients with RA and control subjects.

Material and Method: In the present case-control study the frequency of NOS2A gene polymorphisms at positions -1659 C/T and +150 C/T was investigated in 176 patients with RA and 232 control subjects using PCR-Allele specific and PCR-RFLP methods, respectively. SPSS version 10, Chi-square and Fisher's exact tests were used to study the differences in genotype and allele frequencies between patients and controls.

Results: The results of the present study showed a significant difference in NOS2A -1659 C/T polymorphism between the patients and controls ($P=0.03$). Wild type homozygote (CC) was significantly higher in normal subjects (75%) than patients (64.2%). No significant difference was observed between RA patients and controls in NOS2A +150 C/T polymorphism ($P=0.33$). Furthermore, there was no significant association between different clinical and paraclinical findings including erosion, deformity of joints, rheumatoid nodules, extra articular manifestations, CRP, RF and age of onset and -1659 C/T and +150 C/T NOS2A gene polymorphisms.

Conclusion: To the best of our knowledge this study was the first research on the NOS2A gene polymorphisms in RA patients. Our results revealing the significant correlation between -1659 C/T genotypes and RA, indicates the importance of iNOS polymorphism in the patients and suggest further studies in other ethnic groups.

Key Words: 1) Rheumatoid Arthritis (RA) 2) Inducible Nitric Oxide Synthase
 3) Nitric Oxide Synthase 2A Gene Polymorphism

This article is an abstract of Ms.Abd Nikfarjam's thesis advised by Dr.Amirghofran and read by Dr.Kamali and Dr.Aflaki in partial fulfillment of an Ms degree in immunology.

I) MSc in Immunology. Instructor. Department of Immunology and Microbiology. Faculty of Medicine. Shahid Bahonar Ave., Qazvin University of Medical Sciences and Health Services. Qazvin, Iran. (*Corresponding Author)

II) Professor of Immunology. Department of Immunology. Research Center of Auto-immune Diseases. Faculty of Medicine. Shiraz University of Medical Sciences and Health Services. Shiraz, Iran.

III) Assistant Professor of Rheumatology. Shiraz University of Medical Sciences and Health Services. Shiraz, Iran.